

# Okruh 3 otázka 5

Alternativní metody návrhu lineárních regulačních obvodů. Stabilní a ryzí racionální funkce. Diofantická rovnice. Algoritmy řešení. Systémy a signály, normy. Stabilizující regulátory. Parametrizace stabilizujících regulátorů. Optimální systémy. Minimalizace normy H2. Minimalizace normy Hinfl.

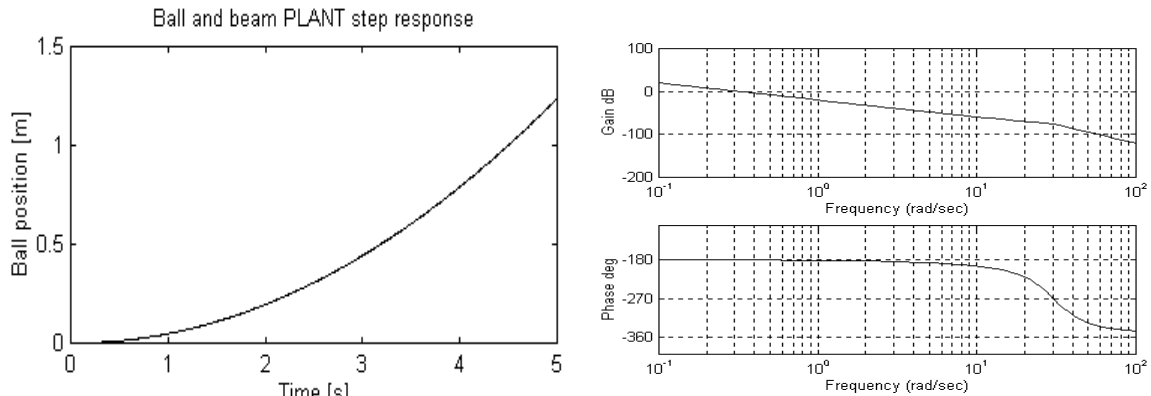
## Alternativní metody návrhu lineárních regulačních obvodů

Několik metod si názorně ukážeme na příkladu:

Mějme soustavu s přenosem:

$$F(s) = \frac{90}{s^2(s^2 + 21s + 900)}$$

Přechodová, amplitudová a fázová charakteristika systému:



Na fázové frekvenční charakteristice se projevuje astatismus druhého řádu, fázový posun začíná na  $-180^\circ$ . Z této skutečnosti se vyplývají následující úvahy:

- klasický návrh regulátoru frekvenční metodou nelze provést, frekvenční charakteristika neprotíná osu  $-180^\circ$ , z frekvenčních metod zůstávají jen ty, které příznivě ovlivní fázovou charakteristiku - tzv. metody fázových kompenzátorů.
- přidáním integrační složky I do uvažovaného regulátoru bychom jen zvýšili řád astatismu, abychom se tomu vyhnuli, měli bychom případný PID regulátor navrhovat s nulovým zesílením  $r_1$ , tedy jako regulátor PD

## Návrh regulátoru metodou pozitivního fázového kompenzátoru

Fázová charakteristika soustavy kulička na tyči nevykazuje příznivé vlastnosti. Její průběh, začínající na  $-180^\circ$ , charakterizuje nestabilní systém. Vhodným fázovým kompenzátozem můžeme upravit tvar frekvenční charakteristiky tak, aby fáze pro určitou oblast frekvencí dosahovala záporných hodnot menších než  $180^\circ$ .

Pozitivní fázový kompenzátor 1.řádu je popsán přenosem:

$$F_{LC}(s) = \frac{K(1 + \tau s)}{1 + a \tau s}$$

Jeden kompenzátor přidá do systému pozitivní fázi maximálně  $90^\circ$ , posun fáze se projeví na frekvencích v rozsahu  $\langle 1/a\tau, 1/\tau \rangle$ ,  $K$  je zesílení. Pro nalezení konstant  $K$ ,  $a$  a  $\tau$  regulátoru a seřízení celého regulačního obvodu existuje následující postup:

- zvolíme tzv. centrální frekvenci  $\omega$ , na které bude mít kompenzátor maximální fázový posuv
- zvolíme požadované navýšení fázového posunu  $\varphi \in \langle 0^\circ, 90^\circ \rangle$
- vypočteme konstantu  $a$  podle vztahu:

$$a = \frac{1 - \sin(\varphi)}{1 + \sin(\varphi)}$$

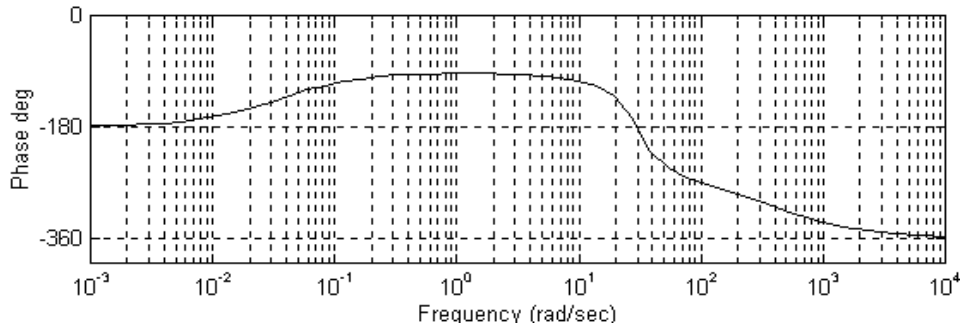
- vypočteme konstantu  $\tau$  podle:

$$\tau = \frac{1}{a\sqrt{\omega}}$$

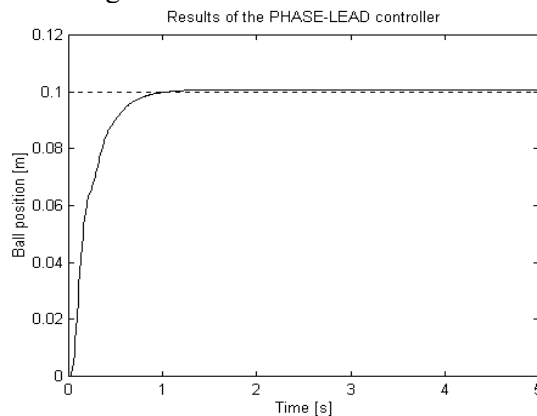
- přidáme přenos kompenzátoru k přenosu soustavy
- uzavřeme regulační smyčku se záporným znaménkem

- sledujeme odezvu uzavřené regulační smyčky na přechodové charakteristice
- zvyšujeme  $K$  do únosné velikosti překývnutí přechodové charakteristiky

V našem případě volíme  $\omega=4$  a  $\phi=89^\circ$ . Po dosazení do vztahu pro  $\tau$  vyjde  $\tau=0.022$  a  $a=7.62e-10^5$ . Po několika pokusech po zobrazení odezvy uzavřeného regulačního obvodu volíme  $K=1.5$ . Fázová frekvenční charakteristika takto navrženého regulačního obvodu:



Přechodová charakteristika uzavřeného regulačního obvodu:

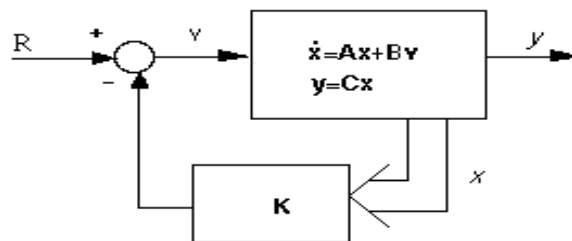


Zvyšováním zesílení  $K$  dochází k nežádoucím překývnutím a zákmitům při jen nevýrazném zkrácení doby regulace.

## Regulace pomocí stavové zpětné vazby

Stavovou zpětnou vazbu je možno nasadit všude tam, kde je k dispozici informace o vnitřních stavových veličinách. Nebývá to vždy jednoduché a hlavním problémem tohoto způsobu řízení je nalezení vhodného pozorovatele stavů.

Pomocí tohoto způsobu regulace lze volbou členů zpětnovazební matice  $K$  (obr.12) teoreticky libovolně ovlivňovat vlastnosti regulačního obvodu.



Před zavedením stavové zpětné vazby jsou vlastnosti systému dány stavovými rovnicemi:

$$\dot{x} = Ax + Bu$$

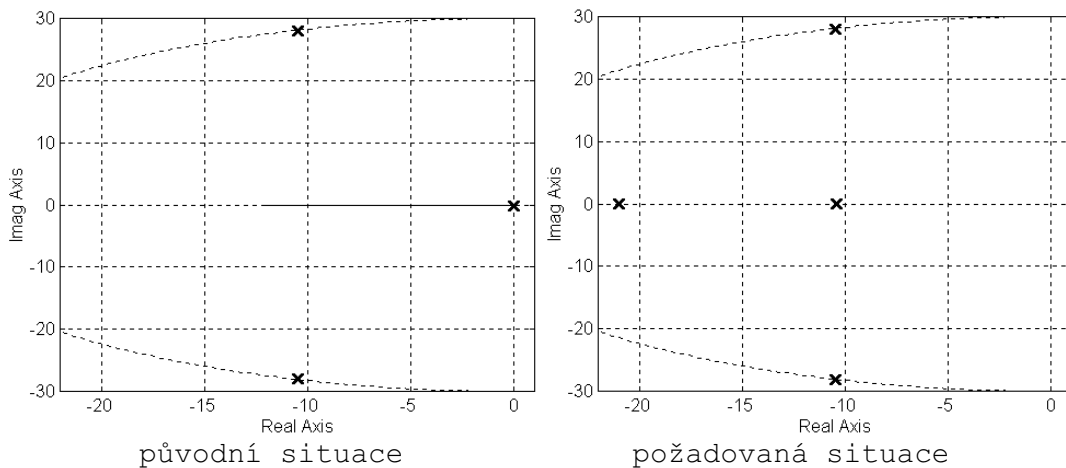
$$y = Cx + Du$$

Přidáním zpětnovazební matice  $K$  (a podle znaménka zpětné vazby) se dynamické vlastnosti systému změní podle:

$$\dot{x} = (A \mp KB)x + Bu$$

$$y = Cx + Du$$

Úkolem je nalézt takovou matici  $K$ , aby výsledné schéma podle obr.12 splňovalo kritéria zadání. Matici  $K$  lze vyčíslit pomocí matlabské funkce '*place.m*'. Funkce podle zvolených požadovaných pólů a zadaných původních matic systému  $A$  a  $B$  vypočte členy matice  $K$ .

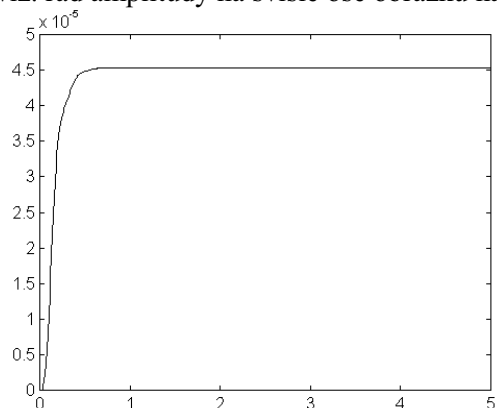


Nyní zbývá zvolit požadované póly, matice  $A$  má rozměr  $4 \times 4$ , umísťujeme tedy 4 póly odpovídající počtu vlastních čísel matice  $A$ . Zaměříme se především na to, abychom odstranili dva póly v průsečíku os (obrázek nahoře nalevo), způsobující pro jakékoli zesílení nestabilitu systému. Řekněme, že umístění komplexně sdružené dvojice pólů z charakteristické rovnice nám vyhovuje a že zmíněné póly nechceme přesouvat. Necháme je tedy na místě a obdržíme tak první dva ze čtyř hledaných pólů:  $p_1 = -10.5000 + 28.1025i$   $p_2 = -10.5000 - 28.1025i$ . Třetí pól umístíme na reálnou osu tak, aby byl v jedné přímce mezi  $p_1$  a  $p_2$ , tedy  $p_3 = -10.5$ . Čtvrtý pól nenecháme ovlivňovat výsledky této konfigurace pólů a posuneme jej dále doleva na reálnou osu, volíme např.  $p_4 = -21$ . Očekáváme tedy situaci podle obr. nahoře napravo.

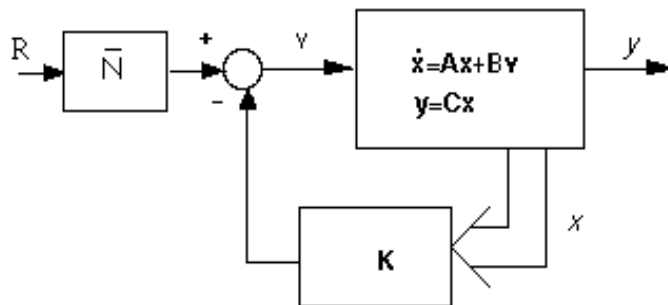
Pomocí následujícího kódu vypočteme matici  $K$ :

```
[A,B,C,D]=tf2ss(num,den);           % převod do stavového modelu
K=place(A,B,[p1,p2,p3,p4]);         % výpočet zpětnovazební matice
[Y,X]=lsim(A-B*K,B,C,D,U,t);       % výpočet průběhu regulace
plot(t,Y);                           % vykreslení průběhu regulace
```

Výsledek regulace splňuje požadavky zadání až na velmi výraznou chybu v ustáleném stavu – ‘steady-state error’ viz. řád amplitudy na svislé ose obrázku nalevo:

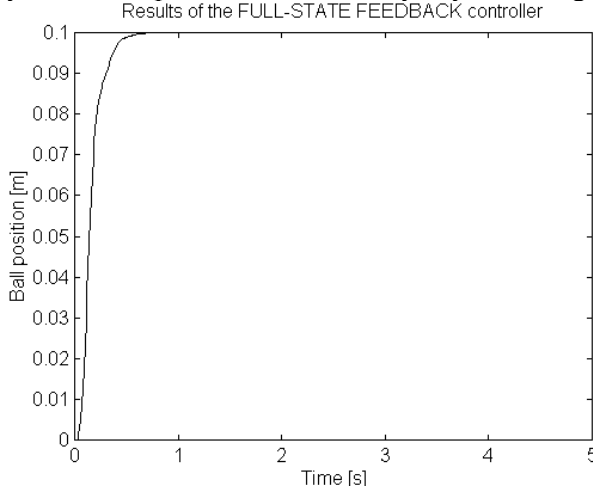


steady state error



odstranění steady-state error

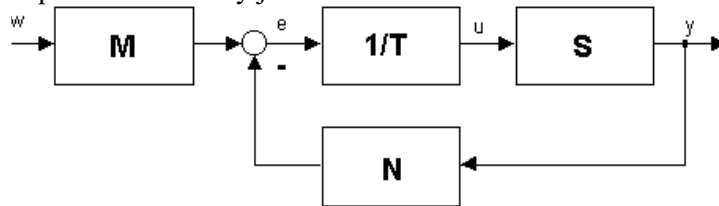
Proto je nutno zajistit v systému tzv. referenční velikost vstupu zajištěnou podle schématu na obr.16. Je to v podstatě konstanta, kterou se vynásobí vstupní matice  $B$  soustavy. Výsledek regulace po odstranění chyby:



Konečný výsledek regulace stavovým regulátorem

## Diskrétní řízení metodou konečného počtu kroků - slabá verze

Diskrétní řízení metodou konečného počtu kroků patří mezi metody návrhů regulátorů vyšších řádů umístěvaním pólů. Základní schéma řízení podle této metody je zde:



Metoda konečného počtu kroků zajistí ukončení regulace za konečně dlouhou dobu. Algoritmus spočívá v nalezení modelu odpovídajícího svými vlastnostmi původní soustavě a jeho porovnáním s přenosem uzavřené regulační smyčky podle obrázku nahoře. Pomocí tohoto porovnání hledáme členy  $M, N, T$  - regulátor. Pro člen  $1/T$  ve slabé verzi platí, že póly a nuly jeho přenosu mohou krátit póly a nuly regulované soustavy. Takovýmto krácením vznikají neřiditelné módy, které mohou zpomalovat dynamiku systému při regulaci. Proto se krátí pouze rychlé póly a nuly: v Laplaceově transformaci póly a nuly s největší zápornou reálnou částí, v Z-transformaci póly a nuly nejbližze středu jednotkové kružnice.

Přenos soustavy uvažujeme jako podíl polynomů  $A$  a  $B$  (značení nemá nic společného se symbolikou pro stavový popis):

$$F_s = \frac{B}{A}$$

Přenos řízení pro regulační obvod podle obrázku nahoře je:

$$F_w = \frac{BM}{AT + BN}$$

Přenos modelu volíme jako podíl polynomů  $C$  a  $D$ :

$$F_m = \frac{D}{C}$$

Položíme přenos řízení roven přenosu soustavy:

$$\frac{BM}{AT + BN} = \frac{D}{C}$$

**Uplatníme následující algoritmus (pozn.: nepřidáváme integrátory):**

- zvolíme póly a nuly v přenosu soustavy, které budou vykráceny a označíme je jako  $A^+$  a  $B^+$ :

$$A = A^+ A^- \quad \text{a} \quad B = B^+ B^-$$

- model musí obsahovat nevykrácené nuly:

$$D = D^- B^-$$

- signál v modelu musí mít nejméně stejné zpoždění jako v regulované soustavě:

$$\deg A - \deg B \leq \deg C - \deg D$$

- pro dosažení kauzality regulátoru doplňujeme model  $F_m$  pozorovatelem  $L$  stupně:

$$\deg L \geq 2 \deg A - \deg C - \deg B^+ - 1$$

- pozorovatel musí obsahovat krácené póly soustavy  $A^+$  ( $L^-$  nesmí krátit žádný polynom):

$$L = L^- A^+$$

- abychom mohli určit polynomy  $M, N$  a  $T$  podle:

$$M = L^- D^- A^+ = L D^-$$

$$N = N^- A^+$$

$$T = T^- B^+$$

- musíme určit následující polynomy a jejich řád:

$$\deg T^- = \deg L + \deg C - \deg A$$

$$\deg N^- = \deg A^- - 1$$

- a vyřešit tzv. diofantickou rovnici:

$$A^- T^- + B^- N^- = L^- C$$

**Pro naši soustavu:**

$$F_s(z) = \frac{B}{A} = \frac{1}{(z-1)^2 (z^2 - 0.9709z - 0.5326)}$$

$$A^+ = (z-1)^2; A^- = z^2 - 0.9709z - 0.5326; B^+ = 1; B^- = 1; D = 1; \deg C = 4 - 0 + 0 = 4;$$

$$F_m = \frac{D}{C} = \frac{1}{z^4}$$

deg L = 2 · 4 - 4 - 0 - 1 = 3; L = (z-0.01)(z-1)<sup>2</sup>; deg T' = 3 + 4 - 4 = 3;

deg N' = 2 - 1 = 1;

**Hledaná diofantická rovnice:**

$$(z^2 - 0.97z + 0.53)(t_3 z^3 + t_2 z^2 + t_1 z + t_0) + (n_1 z + n_0) = (z - 0.01)z^4;$$

Řešení této rovnice je možné najít porovnáním koeficientů u stejných mocnin z. Pro rozsah mocnin od z<sup>0</sup> do z<sup>5</sup> se jedná o šest rovnic o šesti neznámých.

*Výsledek:*

n1 = -0.3286829200, n0 = 0.06340708000, t2 = 0.9600000000, t3 = 1, t1 = 0.4012000000, t0 = -0.1196360000

## Diskrétní řízení metodou konečného počtu kroků - silná verze

Návrh regulace touto metodou se liší od návrhu uvedeného v předchozí kapitole pouze způsobem krácení pólů a nul soustavy regulátorem. V případě silné verze metody konečného počtu kroků totiž není možno krátit ani nuly, ani póly. Získané polynomy vycházejí složitější, avšak algoritmus řešení se neliší od předchozího.

**Pro naši soustavu:**

A<sup>+</sup> = 1; A<sup>-</sup> = (z-1)<sup>2</sup>(z<sup>2</sup> - 0.9709z - 0.5326); B<sup>+</sup> = 1; B<sup>-</sup> = 1; D=1; deg C = 4;

deg L = 2 · 4 - 4 - 0 - 1 = 3; L = (z-0.01)<sup>3</sup>; deg T' = 3 + 4 - 4 = 3;

deg N' = 4 - 1 = 3;

**Hledaná diofantická rovnice:**

$$(z-1)^2(z^2 - 0.97z + 0.53)(t_3 z^3 + t_2 z^2 + t_1 z + t_0) + (n_3 z^3 + n_2 z^2 + n_1 z + n_0) = (z - 0.01)^3 z^4$$

*Výsledek:*

n3 = 9.324921920, n2 = -16.75066392, n1 = 12.34805808, n0 = -3.952017080, t3 = 1, t2 = 2.940000000, t1 = 5.262100000, t0 = 7.456636000

## Stabilní a ryzí racionální funkce

Mějme lineární, časově invariantní přenos, daný racionální lomenou funkcí:

$$G(s) = \frac{b(s)}{a(s)} = C(sI - A)^{-1} B$$

Přenos je ryzí, pokud: deg(b) ≤ deg(a)

Přenos je striktně ryzí, pokud: deg(b) < deg(a)

Relativní řád systému: a-b

Pokud polynom a(s) i b(s) přenosu G(s) obsahuje kořeny, které leží v levé polorovině komplexní roviny – **je přenos G(s) stabilní**. Pokud polynom a(s) přenosu G(s) obsahuje kořeny, které leží v pravé polorovině komplexní roviny – **je přenos G(s) nestabilní**. Pokud polynom b(s) přenosu G(s) obsahuje kořeny, které leží v pravé polorovině komplexní roviny – **představuje přenos G(s) systém s neminimální fází**.

## Diofantická rovnice

Lineární rovnice s polynomy nazýváme diofantickými. Mějme diofantickou rovnici ve tvaru:

$$ax + by = c$$

a, b, c jsou dané polynomy a x, y jsou hledané polynomy. Diofantická rovnice má potom řešení právě tehdy, když největší společný dělitel polynomů a, b dělí polynom c, čili:

$$(a, b) | c$$

což zapíšeme jako:

$$g | c$$

## Algoritmy řešení

### Výpočet největšího společného dělitele

Pro dané polynomy a, b spočteme polynomy p, q, r, s, g, splňující vztahy:

$$ap + bq = g$$

$$ar + bs = 0$$

Určíme:

$$c^0 = c / g$$

Vynásobením první rovnice polynomem  $c^0$  dostaneme přímo jedno řešení:

$$x^0 = pc^0 = p \frac{c}{g}$$

$$y^0 = qc^0 = q \frac{c}{g}$$

Vytkneme-li z druhé rovnice polynom  $g$ , dostaneme:

$$s = a^0$$

$$r = -b^0$$

Obecné řešení je ( $h$  je libovolný polynom):

$$x = p \frac{c}{g} + rh$$

$$y = q \frac{c}{g} + sh$$

**Př.:** Rešte:

$$a = 2 - d - 2d^2 + d^3,$$

$$b = -2d + d^2,$$

$$c = -2 + d + 4d^3 - 4d^4 + d^5.$$

Pomocí algoritmu popsaného v předchozím odstavci vypočteme polynomy  $p, q, r, s, g$ , které jsou rovny

$$g = 2 - d,$$

$$p = 1, \quad r = d,$$

$$q = -d, \quad s = 1 - d^2.$$

Nyní určíme podmínku řešitelnosti diofantické rovnice, to znamená že ověříme, zda  $c^0 = c/g$  je polynom. Platí

$$c^0 = \frac{c}{g} = -1 + 2d^3 - d^4.$$

Diofantická rovnice je řešitelná a obecné řešení je rovno

$$x = p \frac{c}{g} + rh = -1 + 2d^3 - d^4 + (d)h,$$

$$y = q \frac{c}{g} + sh = (-d)(-1 + 2d^3 - d^4) + (1 - d^2)h,$$

kde  $h$  je libovolný polynom.

### **Výpočet největšího společného dělitele, stupeň polynomu $x$ minimální**

Redukujeme  $x^0$  z předchozího postupu (modulo  $b^0$ ):

$$\frac{x^0}{b^0} = u + \frac{v}{b^0}$$

$$x^0 = b^0 u + v$$

Polynom  $u$  je podíl a polynom  $v$  je zbytek po dělení.

(Pokud  $\deg x^0 \leq \deg b^0$  potom  $x^0 = v$  a  $u = 0$ )

Jinak:  $x = v + b^0(u - h) \quad y = y^0 + a^0 u$

(Pozn.: Chceme-li splnit jiné požadavky na polynomy  $x$  nebo  $y$ , je nutno požadovat jiná omezení na polynom  $h$ )

**Př.:** Rešte předchozí uvedený příklad tak, aby polynom  $x$  byl minimálního stupně.

Partikulární řešení je podle předchozího příkladu rovno

$$x^0 = \frac{p}{g} = -1 + 2d^3 - d^4$$

$$y^0 = \frac{q}{g} = d - 2d^4 + d^5$$

Polynom  $b^0$  je roven  $b^0 = b/g = -d$ . Redukcí polynomu  $x^0$  vypočteme polynomy  $u, v$

$$\frac{x^0}{b^0} = d^3 - 2d^2 + \frac{-1}{-d}$$

Odtud

$$u = d^3 - 2d^2, \quad v = -1$$

řešení s minimálním stupněm polynomu  $x$

$$x = v = -1$$

$$y = y^0 + a^0 u = d - 2d^2 + d^3$$

### Metoda neurčitých koeficientů

Jsou-li polynomy  $a, b$  nesoudělné, pak řešení polynomiální rovnice  $ax + by = c$  s minimálním stupněm polynomu  $x$  získáme přímo následovně. Zvolíme stupně polynomů  $x, y$  podle vztahů:

$$\delta x = \deg b - 1$$

$$\delta y = \deg a - 1 \quad \text{pro} \quad \deg a + \deg b > \deg c$$

$$\delta y = \deg c - \deg b \quad \text{pro} \quad \deg a + \deg b \leq \deg c$$

Porovnáním koeficientů u stejných mocnin dostaneme soustavu rovnic, ze které určíme koeficienty polynomů  $x_i$  a  $y_i$  polynomů  $x, y$ .

### Systémy a signály, normy

norma signálu - vyhodnocení kvality regulace

signál  $u(t)$  - po částech spojitě zobrazení  $(-\infty, \infty) \rightarrow \mathbb{R}$

vlastnosti normy

- $\|u\| \geq 0, \|u\| = 0$  iff  $u(t) = 0 \quad \forall t$
- $\|au\| = a \|u\|$
- $\|u + v\| \leq \|u\| + \|v\|$  (trojúhelníková nerovnost)

používané normy signálů

- absolutní norma (1-norma)

$$\|u\|_1 = \int_{-\infty}^{\infty} |u(t)| dt \quad \text{pro } u \in \mathcal{L}_1$$

- kvadratická norma (2-norma)

$$\|u\|_2 = \left( \int_{-\infty}^{\infty} |u(t)|^2 dt \right)^{1/2} \quad \text{pro } u \in \mathcal{L}_2$$

- $\infty$ -norma

$$\|u\|_{\infty} = \sup_t |u(t)|$$

### Vlastnosti norem systémů:

### Časově invariantní systémy:

$$G(s) = \frac{b(s)}{a(s)} = C(sI - A)^{-1}B$$

$$G(s) = \mathcal{L}\{g(t)\} \quad G(j\omega) = G(s)|_{s=j\omega}$$

### Používané normy systémů:

- kvadratická norma

$$\|G\|_2 = \left( \frac{1}{2\pi} \int_{-\infty}^{\infty} |G(j\omega)|^2 d\omega \right)^{1/2}$$

- $\infty$ -norma

$$\|G\|_{\infty} = \sup_{\omega} |G(j\omega)|$$

$\|G\|_2$  je konečná iff

- $G$  je striktně ryzí ( $\deg b < \deg a$ )
- $G(j\omega)$  omezená (nemá póly na imaginární ose)

$\|G\|_\infty$  je konečná iff

- $G$  je ryzí ( $\deg b \leq \deg a$ )
- $G(j\omega)$  omezená (nemá póly na imaginární ose)

$\|G\|_2$  splňuje Parsevalovu rovnost (pro  $G$  stabilní)

$$\|G\|_2^2 = \frac{1}{2\pi} \int_{-\infty}^{\infty} |G(j\omega)|^2 d\omega = \int_{-\infty}^{\infty} |g(t)|^2 dt = \|g\|_2^2$$

$\|G\|_\infty$  je submultiplikativní

$$\|GH\|_\infty \leq \|G\|_\infty \|H\|_\infty$$

## Výpočet kvadratické normy:

- dáno  $G(s) = \frac{b(s)}{a(s)}$ ,  $\|G\|_2$  konečná

- algoritmus

$$\|G\|_2^2 = \frac{1}{2\pi} \int_{-\infty}^{\infty} |G(j\omega)|^2 d\omega = \frac{1}{2\pi j} \int_{-j\infty}^{j\infty} G(s)G(-s) ds = \frac{1}{2\pi j} \oint G(s)G(-s) ds = \sum_{\text{Re } p_i < 0} \text{res}_{p_i} G(s)G(-s)$$

- reziduová věta (křivka  $C$  obíhá oblast  $\text{Int}C$  v kladném smyslu)

$$\frac{1}{2\pi j} \oint_C f(z) dz = \sum_{p_i \in \text{Int } C} \text{res}_{p_i} f(z)$$

pro jednoduchý pól

$$\text{res}_{p_i} f(z) = \lim_{z \rightarrow p_i} (z - p_i) f(z)$$

Příklad

$$G(s) = \frac{b_0}{s + a_0}, \quad G(s)G(-s) = \frac{b_0^2}{(s + a_0)(-s + a_0)}$$

$$\lim_{s \rightarrow -a_0} (s + a_0) \frac{b_0^2}{(s + a_0)(-s + a_0)} = \frac{b_0^2}{2a_0} \quad \text{a tedy} \quad \|G\|_2 = \frac{b_0}{\sqrt{2a_0}}$$

## Výpočet $\infty$ -normy

Vnější popis

- dáno  $G(s) = \frac{b(s)}{a(s)}$

- algoritmus 1

odhad maxima z  $n$  bodů  $\omega_i$ ,  $i = 1, \dots, N$

$$\|G\|_\infty \approx \max_i |G(j\omega_i)|$$

- algoritmus 2

maximum racionální lomené funkce

$$|G(j\omega)|^2 = G(j\omega)G(-j\omega)$$

$$\frac{d}{d\omega} G(j\omega)G(-j\omega) = 0 \quad \rightarrow \quad \omega_{\max} = \dots$$

Příklad

$$G(s) = \frac{\omega_0^2}{s^2 + 2\zeta\omega_0 s + \omega_0^2}$$

$$G(j\omega)G(-j\omega) = \frac{\omega_0^4}{(\omega_0^2 - \omega^2)^2 + 4\zeta^2\omega_0^2\omega^2}$$

$$\omega_{\max} = \omega_0 \sqrt{1 - 2\zeta^2} \quad \text{pro} \quad \zeta \leq 1/\sqrt{2}$$

Vnitřní popis

- dáno  $G(s) = C(sI - A)^{-1}B$  striktně ryzí (tj.  $D = 0$ )

- algoritmus

hledáme nejmenší  $\gamma > 1$  takové, že  $\|G\|_\infty < \gamma$ , tj.  $\|\gamma^{-1}G\|_\infty = \|\gamma^{-1}C(j\omega I - A)^{-1}B\|_\infty < 1$  testujeme, zda  $\lambda(H_\gamma)$  neleží na imaginární ose

$$H_\gamma = \begin{bmatrix} A & BB^T \\ -\frac{1}{\gamma^2}C^T C & -A^T \end{bmatrix}$$

(např. metodou půlení intervalu)

## Norma výstupu pro testovací signály



$G(s)$  stabilní ryzí,  $u(t) = \delta(t)$

- kvadratická norma -  $\|y\|_2 = \|G\|_2$
- $\infty$ -norma -  $\|y\|_\infty = \|g\|_\infty$

$G(s)$  stabilní ryzí,  $u(t) = \sin(\omega t)$

- kvadratická norma -  $\|y\|_2 = \infty$
- $\infty$ -norma -  $\|y\|_\infty = |G(j\omega)|$

norma operátoru  $\|G\| = \sup_u \{\|y\|; \|u\| \leq 1\}$

předpokládáme  $\|u\|_2$  konečná

- kvadratická norma výstupu -  $\sup \{\|y\|_2; \|u\|_2 \leq 1\} = \|G\|_\infty$

předpokládáme  $\|u\|_\infty$  konečná

- kvadratická norma výstupu -  $\sup \{\|y\|_2; \|u\|_\infty \leq 1\} = \infty$
- $\infty$ -norma výstupu -  $\sup \{\|y\|_\infty; \|u\|_\infty \leq 1\} = \|g\|_1$
- $\infty$ -norma výstupu -  $\sup \{\|y\|_\infty; \|u\|_2 \leq 1\} = \|G\|_2$

## Indukované normy systému

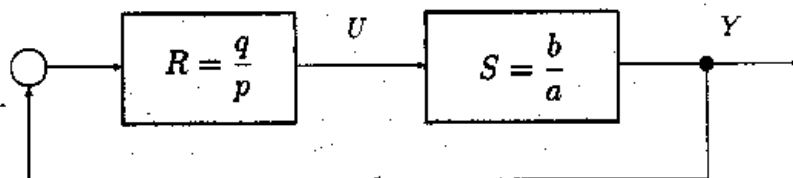
### Stabilizující regulátory

Všechny regulátory  $R$ , které ve zpětnovazebním zapojení s nestabilní soustavou  $S$  zajistí stabilitu celkového obvodu, nazveme stabilizujícími.

## Parametrizace stabilizujících regulátorů

### Spojité řízení

Uvažujeme zapojení se soustavou  $S$  a hledaným regulátorem  $R$ :



Množina stabilizujících regulátorů:

$$R(q) = \frac{y - ah}{x + bh}$$

kde  $x(q)$  a  $y(q)$  jsou řešením rovnice:

$$ax + by = 1$$

$x, y$  patří do okruhu ryzích a stabilních okruhů přenosů spojitých systémů -  $F_{ps}(s)$ . Parametrem je libovolný prvek  $h$  příslušného okruhu.

**Příklad:** Pro spojitý systém s přenosem  $S(s) = \frac{k}{s^2}$  určíme množinu ryzích regulátorů, které zajistí stabilitu a ryznost zpětnovazebního systému

Řešení: Nejprve je třeba vyjádřit přenos systému  $S$  jako podílové těleso s prvky v okruhu stabilních a ryzích přenosů, pak

$$S(s) = \frac{k}{s^2} = \frac{\frac{k}{(s+1)^2}}{\frac{s^2}{(s+1)^2}} = \frac{b(s)}{a(s)}$$

Nyní je třeba vyřešit rovnici  $ax + by = 1$  v příslušném okruhu. Uděláme to tak, že se budeme snažit převést tuto rovnici v okruhu na polynomiální rovnici. Po dosazení dostaneme

$$\frac{s^2}{(s+1)^2}x + \frac{k}{(s+1)^2}y = 1.$$

Vynásobíme-li předchozí rovnici  $(s+1)^2$  dostaneme polynomiální rovnici

$$s^2x + ky = (s+1)^2,$$

jejíž řešení je zřejmě  $x = 1$  a  $y = \frac{1}{k}(2s+1)$ . Toto řešení nelze použít, neboť  $y(s)$  není ryzí přenos. Zvolíme proto

$$x(s) = \frac{n}{s+\alpha}, \quad y(s) = \frac{m}{s+\alpha}, \quad \alpha > 0.$$

kde  $n$  a  $m$  jsou neznámé polynomy. Bez újmy na obecnosti zvolíme  $\alpha = 1$ . Po dosazení dostaneme rovnici

$$\frac{s^2}{(s+1)^2} \frac{n}{s+1} + \frac{k}{(s+1)^2} \frac{m}{s+1} = 1,$$

a po vynásobení dostaneme konečně polynomiální rovnici

$$s^2 n(s) + km(s) = (s+1)^2 (s+1),$$

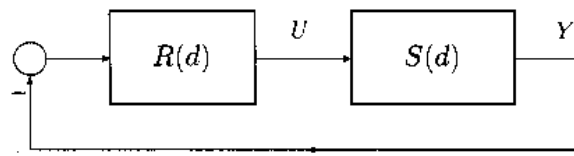
jejíž řešení je zřejmě  $n = s + 3$ ,  $m = \frac{1}{k}(3s + 1)$ . Potom  $x$  i  $y$  jsou ryzí i stabilní přenosy. Množina stabilizujících regulátorů je

$$R(s) = \frac{y - ah}{x + bh} = \frac{\frac{3s+1}{k(s+1)} - \frac{s^2}{(s+1)^2} h}{\frac{3+s}{s+1} + \frac{k}{(s+1)^2} h},$$

kde  $h(s) \in F_{ps}(s)$ .

### Diskrétní řízení

Pro diskrétní systémy řešíme stabilizaci v okruhu polynomů. Uvažujeme zapojení:



Platí:

$$S(d) = \frac{b(d)}{a(d)}$$

$$R(d) = \frac{q(d)}{p(d)}$$

Stabilizující regulátor je realizace přenosu:

$$R = \frac{y - aF}{x + bF}$$

kde  $F$  je libovolný stabilní přenos a polynomy  $x$  a  $y$  jsou řešením polynomiální rovnice:

$$ax + by = 1$$

Zároveň musí být dodrženo:

$$x + bF \neq 0$$

Všechny možné regulátory tvoří jednoparametrickou množinu – parametrem je libovolný stabilní přenos  $F$ . Jestliže zvolíme přenos  $F = \frac{g}{h}$ , kde  $g$  libovolný přenos a  $h$  je libovolný stabilní polynom, pak přenos stabilizujících regulátorů je roven:

$$R = \frac{yh - ag}{xh + bg} = \frac{q}{p}$$

## Optimální systémy

### Přehled výsledků časově optimálního diskrétního řízení

Neznámé počáteční podmínky v systému a regulátoru.

Známe pouze módy řídicí veličiny  $W$ .

#### KONEČNÉ ŘÍZENÍ

	Ovládání	Odchytková regulace	Reg. s dvěma st. volnosti
Podmínkové rovnice	Ovládání neexistuje	$ap + bq = 1$ $f^0 = 1$	$ap + bq = 1$ $fs + br = 1$ $f^0 = 1$
Regulátor		$R = \frac{q}{p}$	$R_1 = \frac{q}{p}; R_2 = \frac{r}{p}$
Odchylka		$E = a^0 pg - cp - hb$	$E = gs - cp - hb$
Řízení		$U = a^0 qg - cq + ha$	$U = a^0 gr - cq + ha$
Charakteristický polynom		$\Delta = 1$	$\Delta = 1$
Počet kroků odchytky		$k_e \leq \deg a^0 + \deg g + \deg b$	$k_e \leq \deg g + \deg b$
Počet kroků řízení		$k_u \leq \deg a^0 + \deg g + \deg a$	$k_u \leq \deg a + \deg g$

#### STABILNÍ ŘÍZENÍ

	Ovládání	Odchytková regulace	Reg. s dvěma st. volnosti
Podmínkové rovnice	Ovládání neexistuje	$af^0x + b^-q = 1$ $f^0$ stabilní	$ax + b^-q = 1$ $fs + b^-r = 1$ $f^0$ stabilní
Regulátor		$R = \frac{q}{xb^+f^0}$	$R_1 = \frac{q}{p}; R_2 = \frac{r}{p}$
Odchylka		$E = a^0 xg - cx f^0 - hb^-$	$E = gs - cx - hb^-$
Řízení		$U = \frac{a^0 qg}{b^+ f^0} - \frac{cq}{b^+} + \frac{ha}{b^+}$	$U = \frac{a^0 gr}{b^+ f^0} - \frac{cq}{b^+} - \frac{ha}{b^+}$
Charakteristický polynom		$\Delta = b^+$	$\Delta = b^+$
Počet kroků odchytky		$k_e \leq \deg a^0 + \deg g + \deg b^-$	$k_e \leq \deg g + \deg b^-$
Počet kroků řízení		$k_u \rightarrow \infty$	$k_u \rightarrow \infty$

## Přehled výsledků časově optimálního diskrétního řízení

Nulové počáteční podmínky v systému i regulátoru.

Úplná znalost řídicí veličiny  $W$ .

### KONEČNÉ ŘÍZENÍ

	Ovládání	Odchylová regulace	Reg. s dvěma stupni volnosti
Podmínkové rovnice	$fx + by = g$ $f^0 = 1$	$f(a^0)^- x + by = g^+$ $f^0 = 1$	$ap + bq = g^+$ $fs + br = g^+$ $f^0 = 1$
Regulátor		$R = \frac{ya^0}{x}$	$R_1 = \frac{q}{p}; R_2 = \frac{r}{p}$
Odchylka	$E = x$	$E = (a^0)^- g^- x$	$E = g^- s$
Řízení	$U = a^0 y$	$U = (a^0)^- g^- q$	$U = a^0 g^- r$
Charakter. polynom		$\Delta = (a^0)^+ g^+$	$\Delta = g^+$
Počet kroků odchyly	$k_e \leq \deg b$	$k_e \leq \deg(a^0)^- + \deg g^- + \deg b$	$k_e \leq \deg g^- + \deg b$
Počet kroků řízení	$k_u \leq \deg a^0 + \deg f$	$k_u \leq \deg(a^0)^- + \deg g^- + \deg b$	$k_u \leq \deg a + \deg g^-$

### STABILNÍ ŘÍZENÍ

	Ovládání	Odchylová regulace	Reg. s dvěma st. volnosti
Podmínkové rovnice	$fx + b^- y = g$ $f^0$ stabilní	$f(a^0)^- x + b^- y = g^+$ $f^0$ stabilní	$ax + b^- y = g^+$ $fs + b^- r = g^+$ $f^0$ stabilní
Regulátor		$R = \frac{y(a^0)^+}{xb^+ f^0}$	$R_1 = \frac{y}{xb^+}; R_2 = \frac{r}{xb^+}$
Odchylka	$E = x$	$E = (a^0)^- g^- x$	$E = g^- s$
Řízení	$U = \frac{ya^0}{b^+ f^0}$	$U = \frac{a^0 y g^-}{fb^+}$	$U = \frac{a^0 g^- r}{b^+ f^0}$
Charakter. polynom		$\Delta = (a^0)^+ g^+ b^+$	$\Delta = g^+ b^+$
Počet kroků odchyly	$k_e \leq \deg b^-$	$k_e \leq \deg(a^0)^+ + \deg g^- + \deg b^-$	$k_e \leq \deg g^- + \deg b^-$
Počet kroků řízení	$k_u \rightarrow \infty$	$k_u \rightarrow \infty$	$k_u \rightarrow \infty$

### Minimalizace normy $H_2$ , Minimalizace normy $H_{\infty}$

Tohle nevím už vůbec.

## Použitá literatura:

- [1] Havlena V.: **Moderní teorie řízení** přednášky ve formátu postscript, ČVUT-FEL, 1998
- [2] Havlena V., Štecha J.: **Moderní teorie řízení** skriptum ČVUT-FEL, 1996
- [3] Štecha J., Havlena V.: **Teorie dynamických systémů** skriptum ČVUT-FEL, 1996
- [4] John J.: **Systémy a řízení** skriptum ČVUT-FEL, 1996
- [5] Regents of the University of Michigan: **Control Tutorials for Matlab (CTM)** internet  
<http://www.ee.duke.edu/~lgb/ctm/index.htm>
- [6] Singer G., University of Lincolnshire & Humberside: **Control Engineering** internet  
<http://seit.humber.ac.uk/Staff/gsinger/control.htm>